

УДК 681.51

Р. З. Ахметсафина

Национальный исследовательский университет  
"Высшая школа экономики"

## Об обратном модифицированном z-преобразовании при неизвестном значении параметра смещения

Рассмотрен алгоритм обратного модифицированного z-преобразования при значении запаздывания, не кратном интервалу дискретизации. Основу алгоритма составляет оценка параметра смещения решетчатой функции (дробной части запаздывания) как решение уравнения, реализующего дробно-рациональное представление передаточной функции непрерывной части.

### Запаздывание, параметр смещения, обратное модифицированное z-преобразование

Поводом написания настоящей статьи послужили посты на форуме сообщества пользователей MathWorks® [1], [2] с обсуждением темы "как осуществить обратное z-преобразование передаточной функции" и "как преобразовать систему с запаздыванием из непрерывной в дискретную и затем из дискретной в непрерывную с сохранением результата?". Для преобразования модели из представления в дискретном времени в представление в непрерывном в MATLAB применяется функция **d2c** из расширения System Identification Toolbox [3] (для обратного преобразования применяется функция **c2d** из состава другого инструментального расширения – Control System Toolbox [4]).

Рассмотрим приведенный на форуме пример. Исходные данные:

```
>>H = tf(1,[1 1.8 .9])
>>Hz = c2d(H,ts,'zoh')
>>H_obratnoe_1 = d2c(Hz,'zoh')
```

Функция (рис. 1) демонстрирует, что задача решается корректно: после прямого и обратного дискретных z-преобразований с экстраполятором нулевого порядка (zero-order hold – zoh) восстанавливается исходная передаточная функция в s-области.

Протестируем эту последовательность преобразований, добавив в s-области запаздывание, кратное интервалу дискретизации, равному 0.5 ( $\tau = 0$ , рис. 2, а), и не кратное этому интервалу ( $\tau = 0.7$ , рис. 2, б):

```
>>H = tf(1,[1 1.8 .9], 'InputDelay', tau)
>>Hz = c2d(H,ts,'zoh')
>>H_obratnoe_1 = d2c(Hz,'zoh')
```

Анализ рис. 2 показывает, что при запаздывании, кратном интервалу дискретизации, пара взаимно обратных преобразований выполняется

```
>>H = tf(1,[1 1.8 .9])
>>Hz = c2d(H,ts,'zoh')
>>H_obratnoe_1 = d2c(Hz,'zoh')
```

Transfer function:

```
1
-----
s^2 + 1.8 s + 0.9
```

Transfer function:

```
0.09297 z + 0.06884
-----
z^2 - 1.261 z + 0.4066
```

Sampling time: 0.5

Transfer function:

```
1
-----
s^2 + 1.8 s + 0.9
```

Рис. 1

корректно: восстанавливается исходная передаточная функция. Однако по некротной задержке после прямого и обратного преобразований получена модель, не совпадающая с исходной: функция в s-области представляет собой нерациональную дробь, а задержка отличается от введенной. Алгоритм функции **c2d** корректно реализует классическое в теории дискретных систем преобразование [5]–[8]. Проблема заключается в функции **d2c**: запаздывание модели в непрерывном времени рассчитывается только кратным интервалу дискретизации.

В составе расширения Control System Toolbox есть еще одна функция **d2d** [9], выполняющая пересчет дискретной модели для нового интервала дискретизации. Однако она также работает некорректно при не кратном интервалу дискретизации запаздывании линейной части модели.

<p>Transfer function:</p> $\exp(-1*s) * \frac{1}{s^2 + 1.8 s + 0.9}$ <p>Transfer function:</p> $z^{(-2)} * \frac{0.09297 z + 0.06884}{z^2 - 1.261 z + 0.4066}$ <p>Sampling time: 0.5</p> <p>Transfer function:</p> $\exp(-1*s) * \frac{1}{s^2 + 1.8 s + 0.9}$	<p>Transfer function:</p> $\exp(-0.7*s) * \frac{1}{s^2 + 1.8 s + 0.9}$ <p>Transfer function:</p> $z^{(-2)} * \frac{0.03764 z^2 + 0.115 z + 0.009173}{z^2 - 1.261 z + 0.4066}$ <p>Sampling time: 0.5</p> <p>Transfer function:</p> $\exp(-1*s) * \frac{0.03764 s^2 + 0.2965 s + 1}{s^2 + 1.8 s + 0.9}$
---	---

a

b

Рис. 2

**Постановка задачи.** Рассмотрим обратное модифицированное z-преобразование [10], [11] при неизвестном значении параметра смещения (моды)  $\varepsilon$ . Дискретная система (ДС) состоит из идеального импульсного элемента, включаемого с интервалом дискретизации  $T_0$ , экстраполятора нулевого порядка и непрерывной части (НЧ) с передаточной функцией (ПФ)  $W^*(s)$  (рис. 3).

ПФ НЧ в s-области имеет вид

$$W^*(s) = \frac{B^*(s)}{A^*(s)} e^{-\tau s} = \frac{\sum_{i=0}^p b_i^* s^{p-i}}{s^n + \sum_{i=1}^n a_i^* s^{n-i}} e^{-\tau s} = \frac{B^*(s) e^{-\tau s}}{s^{n-1} \prod_{i=2}^l (s - s_i)^{r_i}}, \quad (1)$$

где  $\tau$  – запаздывание;  $p$  и  $n$  – натуральные числа ( $p < n$ );  $b_i^*$ ,  $a_i^*$  – вещественные коэффициенты;  $l$  – количество несовпадающих полюсов;  $s_1 = 0$ ,  $s_2, \dots, s_l$  – не равные друг другу полюсы дроби (1);  $r_i$  – кратности полюсов  $\left(\sum_{i=1}^l r_i = n + 1\right)$ .

ПФ ДС в z-области связана с ПФ НЧ прямым z-преобразованием [6]:

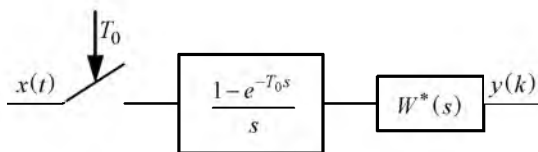


Рис. 3

$$W(z) = \frac{z-1}{z} Z \left\{ \frac{1}{s} W^*(s) \right\} = \frac{B(z)}{A(z)} z^{-d} = \frac{\sum_{i=0}^n b_i z^{n-i}}{z^n + \sum_{i=1}^n a_i z^{n-i}} z^{-d} = \frac{B(z) z^{-d}}{(z-1)^{n-1} \prod_{i=2}^l (z-z_i)^{r_i}}, \quad (2)$$

где  $Z\{\cdot\}$  – оператор z-преобразования;  $b_i$ ,  $a_i$  – вещественные коэффициенты;  $d \geq 1$  – количество интервалов дискретизации (натуральное число);  $z_1 = 1$ ,  $z_2, \dots, z_r$  – не равные друг другу полюсы дроби (2).

В ДС запаздывание НЧ представляется в виде целого числа  $d$  интервалов дискретизации  $T_0$ . Дробная часть запаздывания (не кратная интервалу дискретизации часть остатка запаздывания НЧ) в модели не выделяется и учитывается в числителе ПФ ДС при модифицированном z-преобразовании. Запаздывание представляется суммой целой  $d$  и дробной  $m$  частей:

$$\tau = (d + m - 1)T_0 = (d - \varepsilon)T_0,$$

где  $m = 1 - \varepsilon$ ,  $m \in [0, 1)$ ,  $\varepsilon \in (0, 1]$ .

Для рассматриваемой ДС при модифицированном z-преобразовании  $Z_\varepsilon\{\cdot\}$ :

$$H(z) = \frac{z}{z-1} \frac{B(z)}{A(z)} = Z_\varepsilon \left\{ \frac{1}{s} \frac{B^*(s)}{A^*(s)} \right\} = Z_\varepsilon \{H^*(s)\},$$

а при обратном модифицированном z-преобразовании

$$H^*(s) = Z_\varepsilon^{-1} \{H(z)\}. \quad (3)$$

В общем случае при известном параметре смещения обратное модифицированное z-преобразование (3) осуществляется после разложения на простые дроби (учитывая кратные и комплексно-сопряженные полюсы – корни знаменателя дроби (1)) [6]:

$$H(z) = \sum_{i=1}^l \sum_{j=0}^{r_i-1} \frac{G_{ji}}{(z^{-1} - z_i^{-1})^{j+1}};$$

$$H^*(s) = \sum_{i=1}^l \sum_{j=0}^{r_i-1} \frac{D_{ji}}{(s - s_i)^{j+1}},$$

где  $G_{ji}$  и  $D_{ji}$  – коэффициенты разложения на простые дроби. Полусы дробей связаны соотношениями  $s_i = \ln(z_i)/T_0$ .

Если при преобразовании из дискретной модели в непрерывную известна только ПФ ДС, а параметр смещения  $\varepsilon$  неизвестен, формально решением является ПФ НЧ, определенная обратным модифицированным  $z$ -преобразованием при любом значении параметра  $\varepsilon \in (0, 1]$ , что порождает неопределенность. При использовании функции **d2c** эту неопределенность решают наиболее простым способом, принимая  $\varepsilon \equiv 0$ . Таким образом запаздывание определяется с точностью целого интервала дискретизации, а требование получения рациональной дроби в записи ПФ НЧ выполняется, если ПФ ДС также записывается в виде рациональной дроби. В результате при выполнении условия кратности задержки интервалу дискретизации прямое и обратное преобразования дают правильный результат (рис. 2, а), а при не кратности – порождают ошибку (рис. 2, б).

**Обратное модифицированное  $z$ -преобразование.** Рассмотрим методику, позволяющую ликвидировать ограничение кратности задержки интервалу дискретизации.

*Оценка неизвестного параметра смещения.* В [12] предложено определить дополнительное уравнение для параметра смещения  $\varepsilon$  из свойства записи ПФ НЧ дробно-рациональной функцией (1): порядок полинома числителя дроби меньше порядка полинома знаменателя. Через обратное преобразование Лапласа можно записать

$$L^{-1}\{H^*(s)\}\Big|_{t=0} = h^*(+0) = 0. \quad (4)$$

Уравнение (4) формально описывает свойство реализуемой ПФ НЧ, записанной в дробно-рациональной форме: переходный процесс  $h^*(t)$  без учета запаздывания должен начинаться с нуля.

Разложим  $H(z)$  в степенной ряд:

$$H(z) = \sum_{k=0}^{\infty} h_k z^{-k},$$

где коэффициенты  $h_k$  определяются как

$$h_k = \left. \frac{d^k H(z)}{d(z^{-1})^k} \right|_{z^{-1}=0} = \sum_{i=1}^l \sum_{j=0}^{r_i-1} (-1)^{j+1} G_{ji} C_{k+j}^k z_i^{k+j+1}.$$

Введем обозначение:

$$C_{k+j}^k = \binom{k+j}{k} = \frac{1}{j!} \sum_{q=0}^j (-1)^{q+j} S(j+1, q+1) k^q,$$

где  $S(i, j)$  – числа Стирлинга первого рода [13]. Перегруппируем слагаемые, не зависящие от индекса  $k$ , используя эти числа:

$$h_k = \sum_{i=1}^l \sum_{j=0}^{r_i-1} \left[ (-1)^{j+1} \sum_{q=j}^{r_i-1} G_{qi} \frac{S(q+1, j+1)}{q!} z_i^{q+1} \right] k^j z_i^k =$$

$$= \sum_{i=1}^l \sum_{j=0}^{r_i-1} G_{ji}^* k^j z_i^k,$$

где  $G_{ji}^*$  – вспомогательные коэффициенты.

Поскольку  $h_k = h^*[(k + \varepsilon)T_0]$ , для (4) формально можно записать  $h^*(0) = h_{-\varepsilon}$ , откуда

$$F(\varepsilon) = \sum_{i=1}^l \sum_{j=0}^{r_i-1} G_{ji}^* (-\varepsilon)^j z_i^{-\varepsilon} = 0. \quad (5)$$

Уравнение (5) связывает известные параметры ПФ ДС  $G_{ji}$  с неизвестным значением параметра смещения  $\varepsilon$  через  $G_{ji}^*$ . Уравнение решается численными методами (например, методом Ньютона) в интервале  $\varepsilon \in (0, 1]$ .

*Пересчет параметров модели.* Коэффициенты  $h_k$  связаны с  $H^*(s)$  следующим образом:

$$h_k = L^{-1}\{H^*(s)\}\Big|_{t=(k+\varepsilon)T_0} = h^*[(k + \varepsilon)T_0] =$$

$$= \sum_{i=1}^l \sum_{j=0}^{r_i-1} D_{ji} \frac{[(k + \varepsilon)T_0]^j}{j!} z_i^{k+\varepsilon}.$$

Это позволяет при известном параметре смещения  $\varepsilon$  сформировать систему уравнений для определения коэффициентов разложения на простые дроби ПФ НЧ  $D_{ji}$ , исходя из известных коэффициентов разложения на простые дроби ПФ ДС  $G_{ji}$  через вспомогательные коэффициенты  $G_{ji}^*$ :

$$z_i^\varepsilon \sum_{q=j}^{r_i-1} D_{qi} \frac{C_{q-j}^j}{q!} T_0^q \varepsilon^{q-j} = G_{ji}^*, \quad i = \overline{1, l}; \quad j = \overline{0, r_i - 1},$$

$$\text{где } G_{ji}^* = (-1)^{j+1} \sum_{q=j}^{i-1} G_{qi} \frac{S(q+1, j+1)}{q!} z_i^{q+1}.$$

Так, для инерционного звена первого порядка при не кратном  $T_0$  запаздывании  $\tau$  имеем:

$$W^*(s) = \frac{b_0^*}{s + a_1} e^{-\overbrace{(d-\varepsilon)T_0}^{\tau} s} \Leftrightarrow W(z) = \frac{b_0 z + b_1}{z + a_1} z^{-d}.$$

В этом случае можно получить явную зависимость параметра смещения от коэффициентов числителя и знаменателя ПФ ДС:

$$\varepsilon = \frac{\ln\left(\frac{b_0 + b_1}{b_1 - a_1 b_0}\right)}{\ln(-a_1)}.$$

При представлении порядка числителя дроби (1) в виде  $p = n - 1 - v$ , где  $0 < v < n$  – натуральное число, справедливо условие

$$\left. \frac{d^v h^*(t)}{dt^v} \right|_{t=0} = h^{*(v)}(+0) = 0$$

```
function sysc = d2c_with_zoh(sysd)
% d2c_with_zoh Conversion of discrete LTI models to
% continuous time (ZOH and unknown delay parameter)
% R.Z. Akhmetzafina, 2016, rakhmetzafina@hse.ru
eps1 = eps*1e10;
BZ = sysd.num{1}; AZ = sysd.den{1};
d = sysd.InputDelay; % Запаздывание в Z-области
if BZ(1) ~= 0, d = d + 1; end
AZ = fliplr(AZ); BZ = fliplr(BZ);
AS = conv(-AZ, [1 -1]);
[g z K] = residue(BZ,AS); Ts = sysd.Ts;
s = -log(z)/Ts; st = s.*Ts; stl1 = g;
deriv = 0; z_1 = z.^(-1-eps1);
% Оценка разности порядков полинома
% знаменателя и числителя в S-области
while real(sum(stl1)*(stl1.'*z_1)) > 0
    deriv = deriv + 1; stl=stl1; stl1=stl.*st;
end
m0 = 0.5; MaxIter = 50; Iter = 0; Done = 0;
stl = stl1; stl1 = stl.*st;
% Оценка параметра смещения m
% (метод Ньютона)
while (~Done) && (Iter<MaxIter)
    m = m0-(stl.'*(z.^(-m0)))/(stl1.'*(z.^(-m0)));
    Done = abs(m - m0) <= eps1;
    m0 = m; Iter = Iter + 1;
end
m = real(m); c = -g.*z.^(-m);
[BS AS] = residue(c, s, K);
tau = (d+m-1)*Ts; % Запаздывание в S-области
AS = real(AS(1:end-1));
BS = real(BS(2+deriv:end));
sysc = sysd; sysc.Ts = 0;
sysc.Variable= 's';
sysc.InputDelay = tau; sysc.ioDelay = 0;
sysc.num{1} = BS; sysc.den{1} = AS;
end
```

Рис. 4

(верхний индекс в круглых скобках обозначает порядок производной), а для оценки неизвестного параметра смещения вместо уравнения (5) следует использовать уравнение  $F^{(v)}(\varepsilon) = 0$ . Такая замена обусловлена тем, что функция (5) при кратных полюсах может не пересекать ось  $\varepsilon$ . Производная  $v$ -го порядка гарантирует наличие корня уравнения.

На рис. 4 представлена упрощенная (без выделения кратных полюсов) MATLAB-функция, реализующая разработанное модифицированное обратное  $z$ -преобразование.

Протестируем функцию на исходном примере:

```
>>H = tf(1, [1 1.8 .9], 'InputDelay', tau)
>>Hz = c2d(H, ts, 'zoh')
>>H_obratnoe_2 = d2c_with_zoh(Hz)
```

Результат тестирования, представленный на рис. 5, показывает, что поставленная задача успешно решена: пара обратных преобразований приводит к исходной функции вне зависимости от значения смещения.

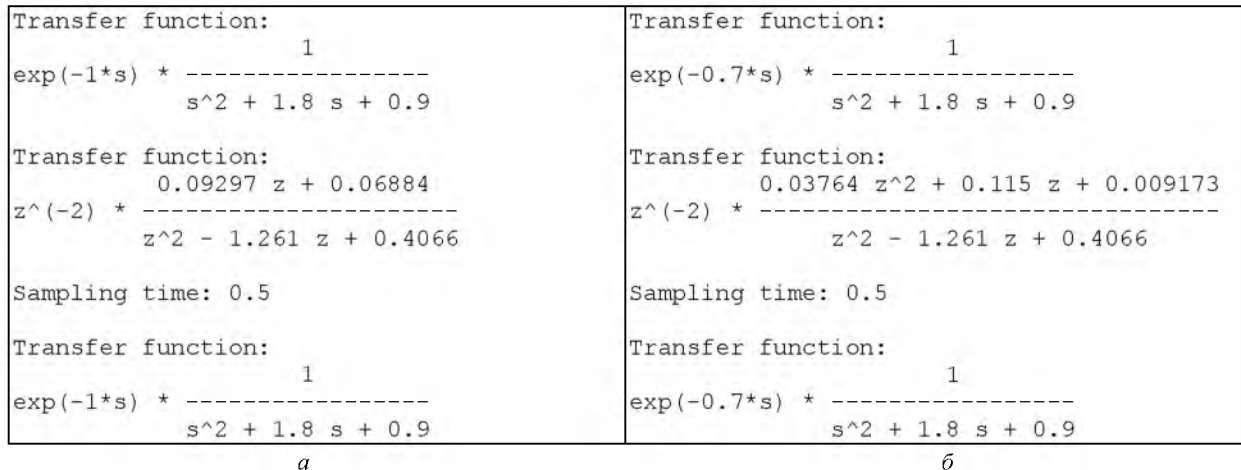


Рис. 5

По результатам проведенного исследования можно сделать следующий вывод. При обратном модифицированном  $z$ -преобразовании, когда задана только ПФ ДС в  $z$ -области, в качестве неизвестного параметра смещения  $\varepsilon \in (0, 1]$  предлагается принять значение, обеспечивающее условие дробно-рациональности результирующей дроби ПФ НЧ в  $s$ -области [12]. Исходя из такого условия, может быть получено дополнительное

уравнение для оценки неизвестного параметра смещения  $\varepsilon$   $z$ -преобразования. В настоящей статье предложен и реализован алгоритм, позволяющий осуществлять обратное модифицированное  $z$ -преобразование при не кратном интервале дискретизации значения запаздывания для ДС, соответствующих структуре, представленной на рис. 3, и ПФ НЧ вида (1).

## СПИСОК ЛИТЕРАТУРЫ

1.  $Z$ -преобразование. URL: <http://matlab.exponenta.ru/forum/post13182.html> (дата обращения 21.07.2016).
2. How can I convert a system with delay from continuous to discrete and from discrete to continuous and the result be the same? URL: <https://www.mathworks.com/matlabcentral/answers/9203-how-can-i-convert-a-system-with-delay-from-continuous-to-discrete-and-from-discrete-to-continuous-an> (дата обращения 21.07.2016).
3. d2c. URL: <http://www.mathworks.com/help/ident/ref/d2c.html> (дата обращения 21.07.2016).
4. c2d. URL: <http://www.mathworks.com/help/control/ref/c2d.html> (дата обращения 21.07.2016).
5. Деч Г. Руководство к практическому применению преобразования Лапласа и  $z$ -преобразования. М.: Книга по требованию, 2012. 288 с.
6. Литвинов А. П. О машинном вычислении передаточных функций дискретных систем управления // Изв. вузов. Приборостроение. 1973. Т. 16, № 12. С. 31–34.
7. Попов Н. Р., Попов И. И. О формулах дискретного преобразования Лапласа, Фурье,  $z$ -преобразования и их применение // Радиотехника. 2000. Вып. 116. С. 28–34.
8. Kollár I., Franklin G. F., Pintelon R. On the Equivalence of  $z$ -domain and  $s$ -domain Models in System Identification // Proc. of the IEEE Instrumentation and Measurement Technology Conf., Brussels, Belgium, June, 1996. Piscataway: IEEE, 1996. Vol. 1. P. 14–19.
9. d2d. URL: <http://www.mathworks.com/help/control/ref/d2d.html> (дата обращения 21.07.2016).
10. Джури Э. Импульсные системы автоматического регулирования / пер. с англ. М.: Физматгиз, 1963. 455 с.
11. Цыпкин Я. З. Теория линейных импульсных систем. М.: Физматгиз, 1963. 968 с.
12. Ахметсафин Р. Д., Ахметсафина Р. З. Обратное  $z$ -преобразование при идентификации дискретных систем с запаздыванием // Изв. вузов. Приборостроение. 2014. Т. 57, № 5. С. 15–25.
13. Липский В. Комбинаторика для программистов / пер. с польск. М.: Мир, 1988. 213 с.

R. Z. Akhmetsafina

National Research University "Higher School of Economics"

### Inverse Modified Z-Transform with Unknown Delay Parameter

*An algorithm for inverse modified  $z$ -transform with delay is considered. The delay parameter is a fraction of the sampling period. The fractional part of the delay is computed as the solution of the equation representing the rational transfer function of continuous part*

Time delay, delay parameter, inverse modified Z-transform

Статья поступила в редакцию 19 мая 2016 г.